

การศึกษาความสัมพันธ์ระหว่างสัญญาณการสั่นสะเทือนและรอยแตกร้าวบนเพียง

นาย สุรศักดิ์ คงมิ

ศูนย์วิทยทรัพยากร

วิทยานิพนธ์นี้เป็นส่วนหนึ่งของการศึกษาตามหลักสูตรปริญญา วิศวกรรมศาสตรมหาบัณฑิต

สาขาวิชาวิศวกรรมเครื่องกล ภาควิชาวิศวกรรมเครื่องกล

คณะวิศวกรรมศาสตร์ จุฬาลงกรณ์มหาวิทยาลัย

ปีการศึกษา 2545

ISBN 974-17-2510-8

ลิขสิทธิ์ของจุฬาลงกรณ์มหาวิทยาลัย

A STUDY OF THE RELATIONSHIP BETWEEN VIBRATION SIGNAL AND GEAR CRACK

Mr. Surasak Kokmi

ศูนย์วิทยทรัพยากร

A Thesis Submitted in Partial Fulfillment of the Requirements
for the Degree of Master of Engineering in Mechanical Engineering

Department of Mechanical Engineering

Faculty of Engineering

Chulalongkorn University

Academic Year 2002

ISBN 974-17-2510-8

หัวข้อวิทยานิพนธ์

การศึกษาความสัมพันธ์ระหว่างสัญญาณการสั่นสะเทือน
และรอยแตกร้าวบนเพื้อง

โดย

นาย สมศักดิ์ คกมิ

สาขาวิชา

วิศวกรรมเครื่องกล

อาจารย์ที่ปรึกษา

ผู้ช่วยศาสตราจารย์ ดร.ชัยโรจน์ คุณพนิชกิจ

คณะกรรมการวิศวกรรมศาสตร์ จุฬาลงกรณ์มหาวิทยาลัย อนุมัติให้นับวิทยานิพนธ์ฉบับนี้
เป็นส่วนหนึ่งของการศึกษาตามหลักสูตรปริญญาบัณฑิต

Muea

คณบดีคณะวิศวกรรมศาสตร์

(ศาสตราจารย์ ดร.สมศักดิ์ ปัญญาแก้ว)

คณะกรรมการสอบวิทยานิพนธ์

Doktor Somsak

ประธานกรรมการ

(รองศาสตราจารย์ ดร.สมศักดิ์ ไชยภกนันท์)

Somchai

อาจารย์ที่ปรึกษา

(ผู้ช่วยศาสตราจารย์ ดร.ชัยโรจน์ คุณพนิชกิจ)

ศุภนิษฐ์ วงศ์อรุณรักษานนท์

กรรมการ

(ผู้ช่วยศาสตราจารย์ ดร.ก่อเกียรติ บุญชุกุล)

Jit

กรรมการ

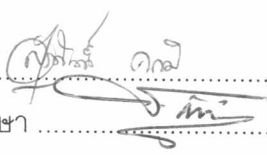
(อาจารย์ ดร.วิทยา วัณณสูงປระสิทธิ์)

สูรศักดิ์ คกมิ : การศึกษาความสัมพันธ์ระหว่างสัญญาณการสั่นสะเทือนและรอยแตกร้าวน
เพื่อง (A STUDY OF THE RELATIONSHIP BETWEEN VIBRATION SIGNAL AND
GEAR CRACK) อ.ที่ปรึกษา : ผู้ช่วยศาสตราจารย์ ดร.ชัยโกรุนี คุณพนิชกิจ ,
240 หน้า. ISBN 974-17-2510-8.

งานวิจัยนี้มีวัตถุประสงค์เพื่อศึกษาความสัมพันธ์ระหว่างสัญญาณการสั่นสะเทือนและระดับ
ความยาวของรอยแตกอันเนื่องจากความล้าที่บิเวณฐานของฟันเพื่อง การทดลองกระทำโดยการ
สร้างรอยแตกร้าวที่ระดับความยาวต่าง ๆ กันบนฟันของเพื่องขึ้บทองเหลืองด้วยเครื่องทดสอบ
ความล้า เพื่องที่แตกร้าวนี้ใช้เป็นเพื่องขึ้นในชุดทดลองการสั่นสะเทือนของชุดเพื่องโดยทำการทดลอง
ที่หลายสภาวะด้วยการปรับระดับภาระและความเร็วรอบ สัญญาณการสั่นสะเทือนที่นำมาใช้
วิเคราะห์อยู่ในรูปแบบของสัญญาณบันโดเมนเวลา สเปกตรัม และเชปส์ตรัม โดยทำการเก็บ
สัญญาณด้วยวิธีการต่าง ๆ กันดังนี้ การเปลี่ยนบันโดเมนความถี่ กระบวนการขยายความละเอียดของ
บันโดเมนความถี่ และการเปลี่ยนบันโดเมนเวลาเข้าจังหวะ

ผลการวิจัยพบว่าการวิเคราะห์สัญญาณบันโดเมนเวลา ค่าพารามิเตอร์ Kurtosis และ Crest
Factor มีแนวโน้มเพิ่มขึ้นตามขนาดของรอยแตกร้าว ในขณะที่ค่า RMS มีขนาดที่ค่อนข้างคงที่ การ
เก็บสัญญาณด้วยวิธีการเปลี่ยนบันโดเมนเวลาเข้าจังหวะช่วยให้สามารถสังเกตเห็นลักษณะควบคุมของ
กันของเพื่องที่ชัดเจน สามารถระบุตำแหน่งฟันซึ่งแตกร้าวได้จากการสังเกตพบพัลส์บิเวณช่วงเวลา
ที่ฟันซึ่งแตกร้าวพบกันสำหรับการวัดสัญญาณในทิศทางเดียวกับการขับกันของเพื่อง ผลของ
สัญญาณสเปกตรัมพบว่าการเปลี่ยนแปลงค่าแเอนพลิจูดของ $1\times GMF$ ไม่สัมพันธ์กับขนาดรอยแตกร้าว
การวิเคราะห์ชุดแยกความถี่ข้างพบว่า จำนวนยาร์มอนิกของชุดแยกความถี่ข้างจากความถี่เพื่องที่
แตกร้าวทางด้านความถี่ต่ำกว่า $1\times GMF$ จะเพิ่มขึ้นตามขนาดของรอยแตกร้าว และยาร์มอนิกที่ตรง
กับความถี่ธรรมชาติจะมีแเอนพลิจูดที่เพิ่มขึ้นตามขนาดของรอยแตกร้าวเป็นอย่างมาก ผลของ
สัญญาณเชปส์ตรัมพบว่า ค่าแกมนิจูดที่คิวเฟรนซ์ลงกับควบคุมการหมุนของเพื่องขึ้น ($1/P$) มีแนวโน้มที่
เพิ่มขึ้นเล็กน้อยจนกระทั่งที่ระดับความยาวรอยแตกร้าว 2.5 มม. แล้วค่าแกมนิจูดจะลดลง การเก็บ
สัญญาณด้วยกระบวนการขยายความละเอียดของบันโดเมนความถี่ออกจากการแยกและ
ชุดแยกความถี่ข้างได้ชัดเจนแล้ว ยังให้แนวโน้มการเปลี่ยนแปลงค่าแกมนิจูดของสัญญาณเชปส์ตรัม
ที่ชัดเจนที่สุด

ภาควิชา วิศวกรรมเครื่องกล
สาขาวิชา วิศวกรรมเครื่องกล
ปีการศึกษา 2545

ลายมือชื่อนิสิต
ลายมือชื่ออาจารย์ที่ปรึกษา


4270620921 : MAJOR MECHANICAL ENGINEERING

KEY WORD : VIBRATION SIGNAL / VIBRATION / SPECTRUM / SPECTRAL ANALYSIS / CEPSTRUM / CEPSTRAL ANALYSIS / GEAR CRACK / GEAR / GMF / FFT / ZOOM PROCESSING / SYNCHRONOUS TIME AVERAGING. SURASAK KOKMI : A STUDY OF THE RELATIONSHIP BETWEEN VIBRATION SIGNAL AND GEAR CRACK. THESIS ADVISOR : ASSISTANT PROFESSOR CHAIROTE KUNPANITCHAKIT, Ph.D. 240 pp. ISBN 974-17-2510-8.

This research dealt with gear crack diagnosis based on vibration signal analysis. The relationship of vibration signal and crack length was analyzed by means of time domain, spectral and cepstral analysis. Vibration signal was recorded by using spectrum averaging, zoom processing, and synchronous time averaging techniques. One cracked tooth was prepared on brass pinions in several lengths by using a dynamic servo fatigue testing machine. Cracked pinions were tested at various speeds and applied loads on an experimental test rig.

The study of time domain signal and crack length shows that the magnitude of Kurtosis and Crest Factor increase with crack evolution while the RMS value does not change with crack length. The tooth meshing period can be clearly seen in the synchronous time averaging signal. The cracked tooth and the shock pulse around cracked tooth meshing period can be identified in the direction of tooth contact. It is found from the spectral analysis that the changing of the amplitude at 1xGMF do not directly relate to crack length. Number of lower sidebands of the pinion speed around 1xGMF increase with crack length. Harmonics of pinion speed sideband which resemble with any natural frequencies of test bed greatly increase with crack length. In case of cepstral analysis, gamnitude of 1/P increases with crack length until the crack length reaches 2.5 mm and then it slightly decreases. The zoom processing of the signal enhances the separation of each harmonics of sideband. The values of the rate of cepstral gamnitude obtained from this method change greater than the signal from other methods.

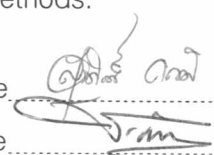
Department MECHANICAL ENGINEERING

Student's signature

Concentration MECHANICAL ENGINEERING

Advisor's signature

Academic year 2002



กิตติกรรมประกาศ

วิทยานิพนธ์ฉบับนี้สำเร็จลุล่วงไปได้ด้วยดีเนื่องจากได้รับการเอาใจใส่ดูแลและให้ความช่วยเหลือเป็นอย่างดียิ่งจาก ผศ.ดร.ชัยโรจน์ คุณพนิชกิจ อาจารย์ที่ปรึกษาวิทยานิพนธ์ ซึ่งท่านได้ให้ทั้งคำปรึกษา แนะนำ ความรู้ และหาแนวทางการแก้ปัญหาที่เกิดขึ้นระหว่างการวิจัย ผู้วิจัยขอกราบขอบพระคุณเป็นอย่างสูงต่อความกรุณาที่ท่านมอบให้

ขอขอบพระคุณบุคลากรที่ให้ความรู้ ภาควิชาชีวกรรมเครื่องกล และคณะวิศวกรรมศาสตร์ สำหรับทุนสนับสนุนการวิจัย ทุนวัสดุวิจัย และทุนผู้ช่วยวิจัยห้องปฏิบัติการเทคโนโลยีบำบัดรักษา เครื่องจักรกล ตามลำดับ

ขอขอบพระคุณ ผศ.ดร.ก่อเกียรติ บุญชุกศล สำหรับคำแนะนำแนวทางการสร้างรอยแตกร้าว และขอขอบพระคุณ อ.ดร.จริรงค์ กสิริพย์อำนวย เป็นอย่างสูงสำหรับความรู้เรื่องกลศาสตร์ การพังทลาย คำแนะนำในการใช้งานเครื่องทดสอบความล้ำ รวมทั้งความช่วยเหลืออย่างมาก many ที่มอบให้ในการแก้ปัญหาที่เกิดขึ้นกับเครื่องทดสอบความล้ำ

ขอขอบพระคุณ ครุยงชัย สิงห์สังวรณ์ ครุภูบติการประจำภาควิชาชีวกรรมเครื่องกล สำหรับคำแนะนำและการให้ความช่วยเหลือในการแก้ปัญหาที่เกิดขึ้นกับอุปกรณ์อิเล็กทรอนิก เซ่น การซ่อมแซมเครื่องทดสอบความล้ำ การใช้งานชุดวงจรสำเร็จรูปแทกคอมิเตอร์ เป็นต้น

ขอขอบคุณ คุณโสภณ นาคยงค์ คุณสุบิน ขันตี คุณพรชัย เสาวรัตน์ชัย และคุณโกวิท โภพล นายช่างเทคนิคประจำภาควิชาชีวกรรมเครื่องกล ซึ่งได้ให้ความช่วยเหลือและคำแนะนำ ในด้านการปฏิบัติงานเป็นอย่างดี คุณวราพรช์ สมพงษ์ เจ้าหน้าที่ศูนย์คอมพิวเตอร์ ตลอดจนเจ้าหน้าที่ประจำภาควิชาชีวกรรมเครื่องกลทุกท่าน และคุณธีรชัย ตันติเมืองคลสุข

ขอขอบคุณ คุณเจชฎา เตชะสังก์ นิสิตปริญญาโทประจำห้องปฏิบัติการเทคโนโลยีบำบัดรักษาเครื่องจักรกลเป็นอย่างมากสำหรับความช่วยเหลือที่มอบให้ตลอดเวลาที่ได้ทำงานร่วมกัน ไม่ว่าจะเป็นการติดตั้งอุปกรณ์ทดลองเพิ่มเติม เช่น แทกคอมิเตอร์ ชุดภาระแบบเครื่องบันไฟฟ์ตันเดอร์ และความช่วยเหลือขณะตั้งแนวแกนชุดทดลองใหม่ อีกทั้งความช่วยเหลือทางด้านอื่นอีกมากมาย และขอขอบคุณ คุณยอดยิ่ง หมวดงาน นิสิตปริญญาโทประจำห้องวิจัยกลศาสตร์การพังทลาย ซึ่งเป็นผู้ช่วยของผู้วิจัยขณะสร้างรอยแตกร้าว

ผู้วิจัยขอกราบขอบพระคุณบุพารดาที่ได้สนับสนุนการศึกษาของผู้วิจัยเป็นอย่างดี ให้กำลังใจ ความรักและความเข้าใจ ทำให้สามารถฝ่าฟันอุปสรรคนานาประการจนสำเร็จได้ดี

สุดท้ายนี้ ประโยชน์อันได้จากการวิจัยนี้ขอขอบเป็นการตอบแทนพระคุณของบุพารดา คุณอาจารย์ และผู้มีพระคุณทุกท่าน ตลอดจนชาวบ้าน ต.สะเอียบ อ.สอง จ.แพร่ ที่กำลังต่อสู้กับโครงการเขื่อนแก่งเสือเต้น

สารบัญ

| | หน้า |
|--|------|
| บทคัดย่อภาษาไทย | ๕ |
| บทคัดย่อภาษาอังกฤษ | ๖ |
| กิตติกรรมประกาศ | ๗ |
| สารบัญ | ๘ |
| สารบัญตาราง | ๙ |
| สารบัญภาพ | ๑๐ |
| คำอธิบายสัญลักษณ์ | ๑ |
| บทที่ ๑ บทนำ | ๑ |
| 1 – ๑ ความสำคัญและที่มาของวิทยานิพนธ์ | ๑ |
| 1 – ๒ ผลงานวิจัยที่ผ่านมา | ๔ |
| 1 – ๓ สมมติฐานการทดลอง | ๘ |
| 1 – ๔ วัสดุประสงค์ | ๙ |
| 1 – ๕ ขอบเขตของวิทยานิพนธ์ | ๙ |
| 1 – ๖ ขั้นตอนการดำเนินงาน | ๙ |
| 1 – ๗ ผลที่คาดว่าจะได้รับ | ๑๐ |
| บทที่ ๒ ทฤษฎีการจัดการข้อมูลและวิเคราะห์สัญญาณ | ๑๑ |
| 2 – ๑ ประเภทของสัญญาณการสั่นสะเทือนโดยทั่วไป | ๑๑ |
| 2 – ๒ การแปลงแบบฟูริเยร์ | ๑๒ |
| 2 – ๓ ความสัมพันธ์ระหว่างพารามิเตอร์เวลาและความถี่ | ๑๗ |
| 2 – ๔ การจัดเก็บข้อมูล | ๑๘ |
| 2 – ๕ พังก์ชันถ่วงน้ำหนัก | ๒๐ |
| 2 – ๖ การเฉลี่ยและการเหลือกันของหน้าต่างเวลา | ๒๗ |
| 2 – ๗ กระบวนการขยายความละเอียดของไดเมนความถี่ | ๒๙ |
| 2 – ๘ การเฉลี่ยบนไดเมนเวลาเข้าจังหวะ | ๓๓ |
| 2 – ๙ การวิเคราะห์สัญญาณบนไดเมนเวลา | ๓๔ |
| 2 – ๑๐ การวิเคราะห์สัญญาณบนไดเมนความถี่ | ๓๘ |
| 2 – ๑๑ เชปส์ตรัม | ๓๘ |

สารบัญ (ต่อ)

สารบัญ (ต่อ)

| | หน้า |
|--|------|
| 5 – 2 สัญญาณสเปกตรัม | 132 |
| 5 – 2 – 1 ความสัมพันธ์ระหว่างสัญญาณสเปกตรัม ^{และความยาวร้อยเมตรกร้ำของฟันเพื่อง} | 134 |
| 5 – 2 – 2 ผลและการวิเคราะห์สัญญาณสเปกตรัม | 171 |
| 5 – 3 สัญญาณเชป์ตัรัม | 177 |
| 5 – 3 – 1 ความสัมพันธ์ระหว่างสัญญาณเชป์ตัรัม ^{และความยาวร้อยเมตรกร้ำของฟันเพื่อง} | 178 |
| 5 – 3 – 2 ผลและการวิเคราะห์สัญญาณเชป์ตัรัม | 185 |
| บทที่ 6 การสรุปผลของวิทยานินพนธ์ | 189 |
| 6 – 1 สรุปผลการวิเคราะห์สัญญาณการสั่นสะเทือน | 189 |
| 6 – 2 ความเป็นไปได้ในการใช้สัญญาณบนโดเมนเวลา สเปกตรัม ^{และเชป์ตัรัม ในการวิเคราะห์การแตกร้ำของฟันเพื่อง} | 191 |
| 6 – 3 ข้อเสนอแนะและการศึกษาวิจัยต่อไป | 193 |
| รายการอ้างอิง | 194 |
| บรรณานุกรม | 196 |
| ภาคผนวก | 197 |
| ภาคผนวก ก รูปถ่ายอุปกรณ์ทดลอง | 198 |
| ภาคผนวก ข ภาพวาดหัวกดที่ใช้สำหรับสร้างร้อยเมตรกร้ำ | 200 |
| ภาคผนวก ค ตัวอย่างภาพการสีกหrovของเพื่องแต่ละตัวภายหลังการทดลอง | 201 |
| ภาคผนวก ง ภาพสัญญาณสเปกตรัมความถี่รวมชาติของชุดทดลอง | 204 |
| ภาคผนวก จ ข้อมูลการสร้างร้อยเมตรกร้ำ | 206 |
| ภาคผนวก ฉ ข้อมูลดิบค่าพารามิเตอร์ที่ใช้วิเคราะห์สัญญาณ | 215 |
| ประวัติผู้วิจัย | 240 |

สารบัญตาราง

| | หน้า |
|--|------|
| ตารางที่ 2-1 ค่าสัมประสิทธิ์ a_1 ของพังก์ชันถ่วงน้ำหนักชนิดต่าง ๆ | 22 |
| ตารางที่ 2-2 คุณลักษณะการเป็นตัวกรองความถี่แบบดิจิตอลของพังก์ชันถ่วงน้ำหนักชนิดต่าง ๆ | 24 |
| ตารางที่ 2-3 อัตราส่วนสัญญาณต่อสัญญาณรบกวนของการเฉลี่ยบันโดเมนเวลาเข้าจังหวะ | 34 |
| ตารางที่ 4-1 รายละเอียดของชุดเพื่องที่ใช้ในการทดลอง | 55 |
| ตารางที่ 4-2 ขนาดของรอยปากบริเวณโคนพันเพื่อง | 58 |
| ตารางที่ 4-3 รายละเอียดของสัญญาณชนิดต่าง ๆ ที่เก็บด้วยวิธีการเฉลี่ยบันโดเมนความถี่สำหรับความเร็ว 500 รอบต่อนาที | 67 |
| ตารางที่ 4-4 รายละเอียดของสัญญาณชนิดต่าง ๆ ที่เก็บด้วยวิธีการเฉลี่ยบันโดเมนความถี่สำหรับความเร็ว 800 รอบต่อนาที | 67 |
| ตารางที่ 4-5 รายละเอียดของสัญญาณชนิดต่าง ๆ ที่เก็บด้วยกระบวนการขยายความละเอียดของไดเมนความถี่สำหรับความเร็ว 500 รอบต่อนาที | 68 |
| ตารางที่ 4-6 รายละเอียดของสัญญาณชนิดต่าง ๆ ที่เก็บด้วยกระบวนการขยายความละเอียดของไดเมนความถี่สำหรับความเร็ว 800 รอบต่อนาที | 69 |
| ตารางที่ 4-7 รายละเอียดของสัญญาณชนิดต่าง ๆ ที่เก็บด้วยวิธีการเฉลี่ยบันโดเมนเวลาเข้าจังหวะสำหรับความเร็ว 500 รอบต่อนาที | 69 |
| ตารางที่ 4-8 รายละเอียดของสัญญาณชนิดต่าง ๆ ที่เก็บด้วยวิธีการเฉลี่ยบันโดเมนเวลาเข้าจังหวะสำหรับความเร็ว 800 รอบต่อนาที | 70 |
| ตารางที่ 4-9 ความถี่และค่าเฟรนซีที่ใช้เคราะห์สัญญาณ | 71 |
| ตารางที่ 5-1 ค่าความถี่ $1xGMF$ และชุดແບຄວາມถี่ข้าง 3 haar มอนิกແກຣອນ $1xGMF$ | 132 |
| ตารางที่ ๖-1 ข้อมูลการสร้างรอยแตกร้าวของเพื่อง 01-1 | 207 |
| ตารางที่ ๖-2 ข้อมูลการสร้างรอยแตกร้าวของเพื่อง 01-2 | 208 |
| ตารางที่ ๖-3 ข้อมูลการสร้างรอยแตกร้าวของเพื่อง 01-3 | 210 |
| ตารางที่ ๖-4 ข้อมูลการสร้างรอยแตกร้าวของเพื่อง 01-4 | 212 |

สารบัญตาราง (ต่อ)

หน้า

| | | |
|---------------------|--|-----|
| ตารางที่ ฉบับที่ 1 | ค่าพารามิเตอร์ของสัญญาณบันโดเมนเวลา : ความเร็ว 500 รอบต่อนาที garage 150 วัตต์ เก็บสัญญาณด้วยวิธี Spectrum Averaging..... | 218 |
| ตารางที่ ฉบับที่ 2 | ค่าพารามิเตอร์ของสัญญาณบันโดเมนเวลา : ความเร็ว 500 รอบต่อนาที garage 150 วัตต์ เก็บสัญญาณด้วยวิธี Synchronous Time Averaging..... | 218 |
| ตารางที่ ฉบับที่ 3 | ค่าพารามิเตอร์ของสัญญาณบันโดเมนเวลา : ความเร็ว 500 รอบต่อนาที garage 300 วัตต์ เก็บสัญญาณด้วยวิธี Spectrum Averaging..... | 219 |
| ตารางที่ ฉบับที่ 4 | ค่าพารามิเตอร์ของสัญญาณบันโดเมนเวลา : ความเร็ว 500 รอบต่อนาที garage 300 วัตต์ เก็บสัญญาณด้วยวิธี Synchronous Time Averaging..... | 219 |
| ตารางที่ ฉบับที่ 5 | ค่าพารามิเตอร์ของสัญญาณบันโดเมนเวลา : ความเร็ว 800 รอบต่อนาที garage 150 วัตต์ เก็บสัญญาณด้วยวิธี Spectrum Averaging..... | 220 |
| ตารางที่ ฉบับที่ 6 | ค่าพารามิเตอร์ของสัญญาณบันโดเมนเวลา : ความเร็ว 800 รอบต่อนาที garage 150 วัตต์ เก็บสัญญาณด้วยวิธี Synchronous Time Averaging..... | 220 |
| ตารางที่ ฉบับที่ 7 | ค่าพารามิเตอร์ของสัญญาณบันโดเมนเวลา : ความเร็ว 800 รอบต่อนาที garage 300 วัตต์ เก็บสัญญาณด้วยวิธี Spectrum Averaging..... | 221 |
| ตารางที่ ฉบับที่ 8 | ค่าพารามิเตอร์ของสัญญาณบันโดเมนเวลา : ความเร็ว 800 รอบต่อนาที garage 300 วัตต์ เก็บสัญญาณด้วยวิธี Synchronous Time Averaging..... | 221 |
| ตารางที่ ฉบับที่ 9 | ค่าพารามิเตอร์ของสัญญาณสเปกตรัม : ความเร็ว 500 รอบต่อนาที garage 150 วัตต์ เก็บสัญญาณด้วยวิธี Spectrum Averaging..... | 222 |
| ตารางที่ ฉบับที่ 10 | ค่าพารามิเตอร์ของสัญญาณสเปกตรัม : ความเร็ว 500 รอบต่อนาที garage 150 วัตต์ เก็บสัญญาณด้วยวิธี Zoom Processing..... | 223 |
| ตารางที่ ฉบับที่ 11 | ค่าพารามิเตอร์ของสัญญาณสเปกตรัม : ความเร็ว 500 รอบต่อนาที garage 150 วัตต์ เก็บสัญญาณด้วยวิธี Synchronous Time Averaging..... | 224 |
| ตารางที่ ฉบับที่ 12 | ค่าพารามิเตอร์ของสัญญาณสเปกตรัม : ความเร็ว 500 รอบต่อนาที garage 300 วัตต์ เก็บสัญญาณด้วยวิธี Spectrum Averaging..... | 225 |
| ตารางที่ ฉบับที่ 13 | ค่าพารามิเตอร์ของสัญญาณสเปกตรัม : ความเร็ว 500 รอบต่อนาที garage 300 วัตต์ เก็บสัญญาณด้วยวิธี Zoom Processing..... | 226 |

สารบัญตาราง (ต่อ)

หน้า

สารบัญตาราง (ต่อ)

หน้า

| | | |
|-----------------|---|------|
| ตารางที่ | ชื่อตาราง | หน้า |
| ฉบับที่ ฉบับที่ | ค่าพารามิเตอร์ของสัญญาณเชปส์ตัวรับ : ความเร็ว 800 รอบต่อนาที | |
| ฉบับที่ ฉบับที่ | garage 150 วัตต์ เก็บสัญญาณด้วยวิธี Spectrum Averaging..... | 237 |
| ฉบับที่ ฉบับที่ | ค่าพารามิเตอร์ของสัญญาณเชปส์ตัวรับ : ความเร็ว 800 รอบต่อนาที | |
| ฉบับที่ ฉบับที่ | garage 150 วัตต์ เก็บสัญญาณด้วยวิธี Zoom Processing..... | 237 |
| ฉบับที่ ฉบับที่ | ค่าพารามิเตอร์ของสัญญาณเชปส์ตัวรับ : ความเร็ว 800 รอบต่อนาที | |
| ฉบับที่ ฉบับที่ | garage 150 วัตต์ เก็บสัญญาณด้วยวิธี Synchronous Time Averaging..... | 238 |
| ฉบับที่ ฉบับที่ | ค่าพารามิเตอร์ของสัญญาณเชปส์ตัวรับ : ความเร็ว 800 รอบต่อนาที | |
| ฉบับที่ ฉบับที่ | garage 300 วัตต์ เก็บสัญญาณด้วยวิธี Spectrum Averaging..... | 238 |
| ฉบับที่ ฉบับที่ | ค่าพารามิเตอร์ของสัญญาณเชปส์ตัวรับ : ความเร็ว 800 รอบต่อนาที | |
| ฉบับที่ ฉบับที่ | garage 300 วัตต์ เก็บสัญญาณด้วยวิธี Zoom Processing..... | 239 |
| ฉบับที่ ฉบับที่ | ค่าพารามิเตอร์ของสัญญาณเชปส์ตัวรับ : ความเร็ว 800 รอบต่อนาที | |
| ฉบับที่ ฉบับที่ | garage 300 วัตต์ เก็บสัญญาณด้วยวิธี Synchronous Time Averaging..... | 239 |



ศูนย์วิทยบริการ
จุฬาลงกรณ์มหาวิทยาลัย

สารบัญภาพ

| | หน้า |
|---|------|
| รูปที่ 2-1 แผนภูมิแสดงการแบ่งแยกชนิดของสัญญาณแบบดีเทอโนนิสติก..... | 11 |
| รูปที่ 2-2 แผนภูมิแสดงการแบ่งแยกชนิดของสัญญาณแบบสุ่ม..... | 12 |
| รูปที่ 2-3 การแปลงฟูริเยรูปแบบต่าง ๆ | 15 |
| รูปที่ 2-4 แผนผังแสดงขั้นตอนการทำงานของเครื่องวิเคราะห์สัญญาณแบบ FFT..... | 18 |
| รูปที่ 2-5 ผลของการสุมตัวอย่างข้อมูลที่ผิดพลาด..... | 19 |
| รูปที่ 2-6 สัญญาณไนคลีน A มีค่าที่สามารถบรรจุลงในหน้าต่างเวลาได้พอดี ในขณะที่คลีน B มีความถี่เปลี่ยนไปเล็กน้อย..... | 20 |
| รูปที่ 2-7 จุดศูนย์กลางฟังก์ชันถ่วงน้ำหนักสี่เหลี่ยมเลื่อนไปตามองค์ประกอบความถี่ ที่มีค่าเป็นจำนวนเท่าของความถี่พื้นฐาน | 21 |
| รูปที่ 2-8 ลักษณะของฟังก์ชันถ่วงน้ำหนักทั้ง 4 ชนิดบนโดเมนเวลา..... | 23 |
| รูปที่ 2-9 คุณลักษณะความเป็นตัวกรองสัญญาณแบบดิจิตอลของฟังก์ชันถ่วงน้ำหนัก ชนิดต่าง ๆ | 23 |
| รูปที่ 2-10 การวิเคราะห์สเปกตรัมของสัญญาณคลีนไนค์ที่ความถี่ 1,600 Hz (Best Case) และ 1,602 Hz (Worst Case) โดยที่ใช้ฟังก์ชันถ่วงน้ำหนักชนิดต่าง ๆ | 24 |
| รูปที่ 2-11 ความสามารถของฟังก์ชันชนิดต่าง ๆ ในการแยกแยะยอดสัญญาณที่อยู่ใกล้กัน | 25 |
| รูปที่ 2-12 (ก) ฟังก์ชันถ่วงน้ำหนักແ xenning 4 ชุดที่นำมาเฉลี่ยกันโดยมีการเหลือมกัน 75% (ข) ผลของการเฉลี่ยฟังก์ชันถ่วงน้ำหนักແ xenning นึงกำลังสอง | 28 |
| รูปที่ 2-13 ฟังก์ชันถ่วงน้ำหนักແ xenning และฟังก์ชันถ่วงน้ำหนักແ xenning นึงกำลังสอง ที่มีการเหลือมกัน 0%, 50%, 66.67% และ 75% | 29 |
| รูปที่ 2-14 ขั้นตอนการทำงานของการขยายความละเอียดของโดเมนความถี่ด้วยวิธี เลื่อนความถี่ | 31 |
| รูปที่ 2-15 โดเมนความถี่ แสดงช่วงความถี่สูงสุดที่ต้องการในการวิเคราะห์แบบปกติ และความถี่ที่ทำการเลื่อนแล้วสำหรับนำไปขยายความละเอียด | 32 |
| รูปที่ 2-16 การวัดสัญญาณการสั่นสะเทือนของเครื่องจักรกลด้วยวิธีการเฉลี่ยบนโดเมน เวลาเข้าจังหวะ | 33 |
| รูปที่ 2-17 รูปสัญญาณการสั่นสะเทือนที่มีความเสียหายเกิดขึ้นตั้งแต่เพิ่งเริ่มจน กระทั่งใกล้จะเสียหาย และเส้นโค้งการกระจายความนำจะเป็นของ เอมเพลจูดสัญญาณการสั่นสะเทือน | 36 |

สารบัญภาพ (ต่อ)

| | หน้า |
|---|------|
| รูปที่ 2-18 ค่าเคอร์ฟิชส์สำหรับรูปแบบสัญญาณต่าง ๆ | 37 |
| รูปที่ 2-19 ผลของสภาพเพื่องที่มีต่อสัญญาณบนโดเมนเวลา | 37 |
| รูปที่ 3-1 พื้นเพื่องขบกัน แนวของการกระทำ และจุดพิเศษ | 41 |
| รูปที่ 3-2 การให้ซื้อส่วนต่าง ๆ ของพื้นเพื่อง | 42 |
| รูปที่ 3-3 สัญญาณการสั่นสะเทือนของชุดเพื่องที่ยังมีสภาพดี (หนึ่งรอบหมุนของเพื่องขับ) | 42 |
| รูปที่ 3-4 สัญญาณการสั่นสะเทือนของชุดเพื่องที่ยังมีสภาพดี (หนึ่งรอบหมุนของเพื่องตาม) | 43 |
| รูปที่ 3-5 สัญญาณสเปกตรัมของชุดเพื่องที่ยังมีสภาพดี | 43 |
| รูปที่ 3-6 รูปแบบสัญญาณบนโดเมนเวลาของเพื่องที่มีพื้นแตกร้าว 1 ชีวิต (ความเร็วรอบ 1200 rpm, พื้น 30 ชีวิต) | 46 |
| รูปที่ 3-7 สัญญาณสเปกตรัม แสดงองค์ประกอบของความคลาดเคลื่อนการเคลื่อนที่ ของเพื่องทั้ง 3 ชนิด | 47 |
| รูปที่ 3-8 เพสเซอร์ที่แสดงถึงการมอดูเลตทางแอมพลิจูด และสัญญาณสเปกตรัม [*] แสดงให้เห็นลักษณะของແບຄວາມດີ້ຂ່າງ | 49 |
| รูปที่ 3-9 เพสเซอร์ที่แสดงถึงการมอดูเลตทางຄວາມດີ້ และสัญญาณสเปกตรัมแสดงให้ ເກີນລັກຈະນະຂອງແບຄວາມດີ້ຂ່າງ | 50 |
| รูปที่ 3-10 รอยแตกร้าวบริเวณฐานพื้น เกิดขึ้นเนื่องจากความล้า | 51 |
| รูปที่ 3-11 สัญญาณการสั่นสะเทือนบนโดเมนเวลาของชุดเพื่องที่เพื่องขับมีพื้นแตกร้าว | 52 |
| รูปที่ 3-12 สัญญาณสเปกตรัมของชุดเพื่องที่เพื่องขับมีพื้นแตกร้าว | 52 |
| รูปที่ 3-13 สัญญาณເຫັນສົບສ່ວນຂອງชຸດเพื่องທີ່ເປື່ອພັນແຕກຮ້າວ | 53 |
| รูปที่ 4-1 เครื่องทดสอบความล้า | 56 |
| รูปที่ 4-2 หัวกดพื้นเพื่องและแท่นยึดจับเพื่อง | 56 |
| รูปที่ 4-3 การหาตำแหน่งของความเค้นดึงมากที่สุด และมุมของรอยบาง (Notch angle) | 57 |
| รูปที่ 4-4 ລັກຈະນະຄວາມເຄີ່ມທີ່ໃຊ້ສໍາຮັບກົດພິ້ນເປື່ອໃຫ້ແຕກຮ້າວ | 59 |
| รูปที่ 4-5 กราฟອາຍຸຄວາມລ້າຄົງທີ່ หรือ Haigh's Diagram | 60 |
| รูปที่ 4-6 รอยแตกร้าวຂອງເປື່ອ 01-1 ຍາວປະມານ 1.5 ມມ | 62 |
| รูปที่ 4-7 รอยแตกร้าวຂອງເປື່ອ 01-2 ຍາວປະມານ 2.5 ມມ | 63 |
| รูปที่ 4-8 รอยแตกร้าวຂອງເປື່ອ 01-3 ຍາວປະມານ 3.5 ມມ | 63 |
| รูปที่ 4-9 รอยแตกร้าวຂອງເປື່ອ 01-4 ຍາວປະມານ 4.5 ມມ | 63 |

สารบัญภาพ (ต่อ)

หน้า

| | |
|--|----|
| รูปที่ 4-10 ภาพร่างแสดงฟันของเพื่อง 01-3 และ 01-4 ภายหลังสร้างรอยแตกร้าว | |
| เทียบกับก่อนสร้างรอยแตกร้าว..... | 64 |
| รูปที่ 4-11 ชุดอุปกรณ์ทดลองการสั่นสะเทือนของชุดเพื่อง..... | 66 |
| รูปที่ 4-12 สัญญาณบนโดเมนเวลา : ความเร็ว 500 รอบต่อนาที ภาระ 300 วัตต์ | |
| วัดสัญญาณแควระดับ เก็บสัญญาณด้วยวิธี Spectrum Averaging..... | 73 |
| รูปที่ 4-13 สัญญาณบนโดเมนเวลา : ความเร็ว 500 รอบต่อนาที ภาระ 300 วัตต์ | |
| วัดสัญญาณแนวตั้ง เก็บสัญญาณด้วยวิธี Spectrum Averaging..... | 74 |
| รูปที่ 4-14 สัญญาณบนโดเมนเวลา : ความเร็ว 500 รอบต่อนาที ภาระ 300 วัตต์ | |
| วัดสัญญาณแควระดับ เก็บสัญญาณด้วยวิธี Synchronous Time Averaging..... | 75 |
| รูปที่ 4-15 สัญญาณบนโดเมนเวลา : ความเร็ว 500 รอบต่อนาที ภาระ 300 วัตต์ | |
| วัดสัญญาณแนวตั้ง เก็บสัญญาณด้วยวิธี Synchronous Time Averaging..... | 76 |
| รูปที่ 4-16 สัญญาณบนโดเมนเวลา : ความเร็ว 800 รอบต่อนาที ภาระ 300 วัตต์ | |
| วัดสัญญาณแควระดับ เก็บสัญญาณด้วยวิธี Spectrum Averaging..... | 77 |
| รูปที่ 4-17 สัญญาณบนโดเมนเวลา : ความเร็ว 800 รอบต่อนาที ภาระ 300 วัตต์ | |
| วัดสัญญาณแนวตั้ง เก็บสัญญาณด้วยวิธี Spectrum Averaging..... | 78 |
| รูปที่ 4-18 สัญญาณบนโดเมนเวลา : ความเร็ว 800 รอบต่อนาที ภาระ 300 วัตต์ | |
| วัดสัญญาณแควระดับ เก็บสัญญาณด้วยวิธี Synchronous Time Averaging..... | 79 |
| รูปที่ 4-19 สัญญาณบนโดเมนเวลา : ความเร็ว 800 รอบต่อนาที ภาระ 300 วัตต์ | |
| วัดสัญญาณแนวตั้ง เก็บสัญญาณด้วยวิธี Synchronous Time Averaging..... | 80 |
| รูปที่ 4-20 สัญญาณสเปกตรัม : ความเร็ว 500 รอบต่อนาที ภาระ 300 วัตต์ | |
| วัดสัญญาณแควระดับ เก็บสัญญาณด้วยวิธี Spectrum Averaging..... | 85 |
| รูปที่ 4-21 สัญญาณสเปกตรัม : ความเร็ว 500 รอบต่อนาที ภาระ 300 วัตต์ | |
| วัดสัญญาณแนวตั้ง เก็บสัญญาณด้วยวิธี Spectrum Averaging..... | 86 |
| รูปที่ 4-22 สัญญาณสเปกตรัม : ความเร็ว 500 รอบต่อนาที ภาระ 300 วัตต์ | |
| วัดสัญญาณแควระดับ เก็บสัญญาณด้วยวิธี Zoom Processing..... | 87 |
| รูปที่ 4-23 สัญญาณสเปกตรัม : ความเร็วรอบ 500 รอบต่อนาที ภาระ 300 วัตต์ | |
| วัดสัญญาณแนวตั้ง เก็บสัญญาณด้วยวิธี Zoom Processing..... | 88 |

สารบัญภาพ (ต่อ)

หน้า

| | |
|--|-----|
| รูปที่ 4-24 สัญญาณสเปกตรัม : ความเร็ว 500 รอบต่อนาที ภาวะ 300 วัตต์ | |
| วัดสัญญาณแนวระดับ เก็บสัญญาณด้วยวิธี Synchronous Time Averaging..... | 89 |
| รูปที่ 4-25 สัญญาณสเปกตรัม : ความเร็ว 500 รอบต่อนาที ภาวะ 300 วัตต์ | |
| วัดสัญญาณแนวดิ่ง เก็บสัญญาณด้วยวิธี Synchronous Time Averaging..... | 90 |
| รูปที่ 4-26 สัญญาณสเปกตรัม : ความเร็ว 800 รอบต่อนาที ภาวะ 300 วัตต์ | |
| วัดสัญญาณแนวระดับ เก็บสัญญาณด้วยวิธี Spectrum Averaging..... | 91 |
| รูปที่ 4-27 สัญญาณสเปกตรัม : ความเร็ว 800 รอบต่อนาที ภาวะ 300 วัตต์ | |
| วัดสัญญาณแนวดิ่ง เก็บสัญญาณด้วยวิธี Spectrum Averaging..... | 92 |
| รูปที่ 4-28 สัญญาณสเปกตรัม : ความเร็ว 800 รอบต่อนาที ภาวะ 300 วัตต์ | |
| วัดสัญญาณแนวระดับ เก็บสัญญาณด้วยวิธี Zoom Processing..... | 93 |
| รูปที่ 4-29 สัญญาณสเปกตรัม : ความเร็ว 800 รอบต่อนาที ภาวะ 300 วัตต์ | |
| วัดสัญญาณแนวดิ่ง เก็บสัญญาณด้วยวิธี Zoom Processing..... | 94 |
| รูปที่ 4-30 สัญญาณสเปกตรัม : ความเร็ว 800 รอบต่อนาที ภาวะ 300 วัตต์ | |
| วัดสัญญาณแนวระดับ เก็บสัญญาณด้วยวิธี Synchronous Time Averaging..... | 95 |
| รูปที่ 4-31 สัญญาณสเปกตรัม : ความเร็ว 800 รอบต่อนาที ภาวะ 300 วัตต์ | |
| วัดสัญญาณแนวดิ่ง เก็บสัญญาณด้วยวิธี Synchronous Time Averaging..... | 96 |
| รูปที่ 4-32 สัญญาณเชปส์ตัม : ความเร็ว 500 รอบต่อนาที ภาวะ 300 วัตต์ | |
| วัดสัญญาณแนวระดับ เก็บสัญญาณด้วยวิธี Spectrum Averaging..... | 101 |
| รูปที่ 4-33 สัญญาณเชปส์ตัม : ความเร็ว 500 รอบต่อนาที ภาวะ 300 วัตต์ | |
| วัดสัญญาณแนวดิ่ง เก็บสัญญาณด้วยวิธี Spectrum Averaging..... | 102 |
| รูปที่ 4-34 สัญญาณเชปส์ตัม : ความเร็ว 500 รอบต่อนาที ภาวะ 300 วัตต์ | |
| วัดสัญญาณแนวระดับ เก็บสัญญาณด้วยวิธี Zoom Processing..... | 103 |
| รูปที่ 4-35 สัญญาณเชปส์ตัม : ความเร็ว 500 รอบต่อนาที ภาวะ 300 วัตต์ | |
| วัดสัญญาณแนวดิ่ง เก็บสัญญาณด้วยวิธี Zoom Processing..... | 104 |
| รูปที่ 4-36 สัญญาณเชปส์ตัม : ความเร็ว 500 รอบต่อนาที ภาวะ 300 วัตต์ | |
| วัดสัญญาณแนวระดับ เก็บสัญญาณด้วยวิธี Synchronous Time Averaging.... | 105 |
| รูปที่ 4-37 สัญญาณเชปส์ตัม : ความเร็ว 500 รอบต่อนาที ภาวะ 300 วัตต์ | |
| วัดสัญญาณแนวดิ่ง เก็บสัญญาณด้วยวิธี Synchronous Time Averaging..... | 106 |

สารบัญภาพ (ต่อ)

หน้า

| | |
|--|-----|
| รูปที่ 4-38 สัญญาณเชปส์ตัม : ความเร็ว 800 รอบต่อนาที garage 300 วัตต์ | |
| วัดสัญญาณแควระดับ เก็บสัญญาณด้วยวิธี Spectrum Averaging..... | 107 |
| รูปที่ 4-39 สัญญาณเชปส์ตัม : ความเร็ว 800 รอบต่อนาที garage 300 วัตต์ | |
| วัดสัญญาณแควระดับ เก็บสัญญาณด้วยวิธี Spectrum Averaging..... | 108 |
| รูปที่ 4-40 สัญญาณเชปส์ตัม : ความเร็ว 800 รอบต่อนาที garage 300 วัตต์ | |
| วัดสัญญาณแควระดับ เก็บสัญญาณด้วยวิธี Zoom Processing..... | 109 |
| รูปที่ 4-41 สัญญาณเชปส์ตัม : ความเร็ว 800 รอบต่อนาที garage 300 วัตต์ | |
| วัดสัญญาณแควระดับ เก็บสัญญาณด้วยวิธี Zoom Processing..... | 110 |
| รูปที่ 4-42 สัญญาณเชปส์ตัม : ความเร็ว 800 รอบต่อนาที garage 300 วัตต์ | |
| วัดสัญญาณแควระดับ เก็บสัญญาณด้วยวิธี Synchronous Time Averaging..... | 111 |
| รูปที่ 4-43 สัญญาณเชปส์ตัม : ความเร็ว 800 รอบต่อนาที garage 300 วัตต์ | |
| วัดสัญญาณแควระดับ เก็บสัญญาณด้วยวิธี Synchronous Time Averaging..... | 112 |
| รูปที่ 4-44 ภาพจำลองแสดงทิศทางการเคลื่อนที่แบบกลิ้ง (R) และแบบไอล (S) | |
| ของคู่พื้นเพื่อง..... | 114 |
| รูปที่ 4-45 การสีกหรอของพื้นเพื่อง 01-0 และ 01-4 ภายหลังการทดลอง..... | 115 |
| รูปที่ 5-1 ความสัมพันธ์ระหว่างค่า RMS และความยาวรอยแตกร้าวของพื้นเพื่อง : | |
| ความเร็ว 500 รอบต่อนาที..... | 118 |
| รูปที่ 5-2 ความสัมพันธ์ระหว่างค่า RMS และความยาวรอยแตกร้าวของพื้นเพื่อง : | |
| ความเร็ว 800 รอบต่อนาที..... | 119 |
| รูปที่ 5-3 ความสัมพันธ์ระหว่างค่า Kurtosis และความยาวรอยแตกร้าวของพื้นเพื่อง : | |
| ความเร็ว 500 รอบต่อนาที..... | 120 |
| รูปที่ 5-4 ความสัมพันธ์ระหว่างค่า Kurtosis และความยาวรอยแตกร้าวของพื้นเพื่อง : | |
| ความเร็ว 800 รอบต่อนาที..... | 121 |
| รูปที่ 5-5 ความสัมพันธ์ระหว่างค่า Peak และความยาวรอยแตกร้าวของพื้นเพื่อง : | |
| ความเร็ว 500 รอบต่อนาที..... | 122 |
| รูปที่ 5-6 ความสัมพันธ์ระหว่างค่า Peak และความยาวรอยแตกร้าวของพื้นเพื่อง : | |
| ความเร็ว 800 รอบต่อนาที..... | 123 |

สารบัญภาพ (ต่อ)

หน้า

| | | |
|-------------|---|-----|
| รูปที่ 5-7 | ความสัมพันธ์ระหว่างค่า Crest Factor และความยาวรอยแตกร้าวของ ฟันเฟือง : ความเร็ว 500 รอบต่อนาที | 124 |
| รูปที่ 5-8 | ความสัมพันธ์ระหว่างค่า Crest Factor และความยาวรอยแตกร้าวของ ฟันเฟือง : ความเร็ว 800 รอบต่อนาที | 125 |
| รูปที่ 5-9 | ความสัมพันธ์ระหว่างค่าแเคอมพลิจูดของ GMF และความยาวรอยแตกร้าวของ ฟันเฟือง : ความเร็ว 500 รอบต่อนาที เก็บสัญญาณด้วยวิธี Spectrum Averaging | 137 |
| รูปที่ 5-10 | ความสัมพันธ์ระหว่างค่าแเคอมพลิจูดของ GMF และความยาวรอยแตกร้าวของ ฟันเฟือง : ความเร็ว 500 รอบต่อนาที เก็บสัญญาณด้วยวิธี Synchronous Time Averaging | 138 |
| รูปที่ 5-11 | ความสัมพันธ์ระหว่างค่าแเคอมพลิจูดของ GMF และความยาวรอยแตกร้าวของ ฟันเฟือง : ความเร็ว 800 รอบต่อนาที เก็บสัญญาณด้วยวิธี Spectrum Averaging | 139 |
| รูปที่ 5-12 | ความสัมพันธ์ระหว่างค่าแเคอมพลิจูดของ GMF และความยาวรอยแตกร้าวของ ฟันเฟือง : ความเร็ว 800 รอบต่อนาที เก็บสัญญาณด้วยวิธี Synchronous Time Averaging | 140 |
| รูปที่ 5-13 | ความสัมพันธ์ระหว่างค่าแเคอมพลิจูดของ SBP 3 ยาร์มอนิกแรกรอบ 1xGMF และความยาวรอยแตกร้าวของฟันเฟือง : ความเร็ว 500 รอบต่อนาที วัดสัญญาณแนวระดับ เก็บสัญญาณด้วยวิธี Spectrum Averaging | 141 |
| รูปที่ 5-14 | ความสัมพันธ์ระหว่างค่าแเคอมพลิจูดของ SBP 3 ยาร์มอนิกแรกรอบ 1xGMF และความยาวรอยแตกร้าวของฟันเฟือง : ความเร็ว 500 รอบต่อนาที วัดสัญญาณแนวติง เก็บสัญญาณด้วยวิธี Spectrum Averaging | 142 |
| รูปที่ 5-15 | ความสัมพันธ์ระหว่างค่าแเคอมพลิจูดของ SBP 3 ยาร์มอนิกแรกรอบ 1xGMF และความยาวรอยแตกร้าวของฟันเฟือง : ความเร็ว 500 รอบต่อนาที วัดสัญญาณแนวระดับ เก็บสัญญาณด้วยวิธี Zoom Processing รอบ 1xGMF | 143 |
| รูปที่ 5-16 | ความสัมพันธ์ระหว่างค่าแเคอมพลิจูดของ SBP 3 ยาร์มอนิกแรกรอบ 1xGMF และความยาวรอยแตกร้าวของฟันเฟือง : ความเร็ว 500 รอบต่อนาที วัดสัญญาณแนวติง เก็บสัญญาณด้วยวิธี Zoom Processing รอบ 1xGMF | 144 |

สารบัญภาพ (ต่อ)

หน้า

| | |
|--|-----|
| รูปที่ 5-17 ความสัมพันธ์ระหว่างค่าเออมพลิจูดของ SBP 3 ยาร์มอนิกแรกรอบ 1xGMF และความยาวร้อยเดกร้อวของพื้นเพื่อง : ความเร็ว 500 รอบต่อนาที วัดสัญญาณแนวระดับ เก็บสัญญาณด้วยวิธี Synchronous Time Averaging..... | 145 |
| รูปที่ 5-18 ความสัมพันธ์ระหว่างค่าเออมพลิจูดของ SBP 3 ยาร์มอนิกแรกรอบ 1xGMF และความยาวร้อยเดกร้อวของพื้นเพื่อง : ความเร็ว 500 รอบต่อนาที วัดสัญญาณแนวดิ่ง เก็บสัญญาณด้วยวิธี Synchronous Time Averaging..... | 146 |
| รูปที่ 5-19 ความสัมพันธ์ระหว่างค่าเออมพลิจูดของ SBP 3 ยาร์มอนิกแรกรอบ 1xGMF และความยาวร้อยเดกร้อวของพื้นเพื่อง : ความเร็ว 800 รอบต่อนาที วัดสัญญาณแนวระดับ เก็บสัญญาณด้วยวิธี Spectrum Averaging..... | 147 |
| รูปที่ 5-20 ความสัมพันธ์ระหว่างค่าเออมพลิจูดของ SBP 3 ยาร์มอนิกแรกรอบ 1xGMF และความยาวร้อยเดกร้อวของพื้นเพื่อง : ความเร็ว 800 รอบต่อนาที วัดสัญญาณแนวดิ่ง เก็บสัญญาณด้วยวิธี Spectrum Averaging..... | 148 |
| รูปที่ 5-21 ความสัมพันธ์ระหว่างค่าเออมพลิจูดของ SBP 3 ยาร์มอนิกแรกรอบ 1xGMF และความยาวร้อยเดกร้อวของพื้นเพื่อง : ความเร็ว 800 รอบต่อนาที วัดสัญญาณแนวระดับ เก็บสัญญาณด้วยวิธี Zoom Processing รอบ 1xGMF..... | 149 |
| รูปที่ 5-22 ความสัมพันธ์ระหว่างค่าเออมพลิจูดของ SBP 3 ยาร์มอนิกแรกรอบ 1xGMF และความยาวร้อยเดกร้อวของพื้นเพื่อง : ความเร็ว 800 รอบต่อนาที วัดสัญญาณแนวดิ่ง เก็บสัญญาณด้วยวิธี Zoom Processing รอบ 1xGMF..... | 150 |
| รูปที่ 5-23 ความสัมพันธ์ระหว่างค่าเออมพลิจูดของ SBP 3 ยาร์มอนิกแรกรอบ 1xGMF และความยาวร้อยเดกร้อวของพื้นเพื่อง : ความเร็ว 800 รอบต่อนาที วัดสัญญาณแนวระดับ เก็บสัญญาณด้วยวิธี Synchronous Time Averaging..... | 151 |
| รูปที่ 5-24 ความสัมพันธ์ระหว่างค่าเออมพลิจูดของ SBP 3 ยาร์มอนิกแรกรอบ 1xGMF และความยาวร้อยเดกร้อวของพื้นเพื่อง : ความเร็ว 800 รอบต่อนาที วัดสัญญาณแนวดิ่ง เก็บสัญญาณด้วยวิธี Synchronous Time Averaging..... | 152 |
| รูปที่ 5-25 ความสัมพันธ์ระหว่างค่าเออมพลิจูดของ SBP 3 ยาร์มอนิกที่ไกลอกออกไปทางด้าน ความถี่ต่ำกว่า 1xGMF และความยาวร้อยเดกร้อวของพื้นเพื่อง : ความเร็ว 500 รอบต่อนาที เก็บสัญญาณด้วยวิธี Spectrum Averaging..... | 153 |

สารบัญภาพ (ต่อ)

หน้า

| | |
|---|-----|
| รูปที่ 5-26 ความสัมพันธ์ระหว่างค่าแเอนพลิจูดของ SBP ยาร์มอนิกที่ไกลออกไป ทางด้าน ความถี่ต่ำกว่า 1xGMF และความยาวร้อยแทกร้าวของฟันเพื่อง : ความเร็ว 500 รอบต่อนาที เก็บสัญญาณด้วยวิธี Zoom Processing รอบ 1xGMF | 154 |
| รูปที่ 5-27 ความสัมพันธ์ระหว่างค่าแเอนพลิจูดของ SBP ยาร์มอนิกที่ไกลออกไป ทางด้าน ความถี่ต่ำกว่า 1xGMF และความยาวร้อยแทกร้าวของฟันเพื่อง : ความเร็ว 500 รอบต่อนาที เก็บสัญญาณด้วยวิธี Synchronous Time Averaging | 155 |
| รูปที่ 5-28 ความสัมพันธ์ระหว่างค่าแเอนพลิจูดของ SBP ยาร์มอนิกที่ไกลออกไป ทางด้าน ความถี่ต่ำกว่า 1xGMF และความยาวร้อยแทกร้าวของฟันเพื่อง : ความเร็ว 800 รอบต่อนาที เก็บสัญญาณด้วยวิธี Spectrum Averaging | 156 |
| รูปที่ 5-29 ความสัมพันธ์ระหว่างค่าแเอนพลิจูดของ SBP ยาร์มอนิกที่ไกลออกไป ทางด้าน ความถี่ต่ำกว่า 1xGMF และความยาวร้อยแทกร้าวของฟันเพื่อง : ความเร็ว 800 รอบต่อนาที เก็บสัญญาณด้วยวิธี Zoom Processing รอบ 1xGMF | 157 |
| รูปที่ 5-30 ความสัมพันธ์ระหว่างค่าแเอนพลิจูดของ SBW 3 ยาร์มอนิกแรกรอบ 1xGMF และความยาวร้อยแทกร้าวของฟันเพื่อง : ความเร็ว 800 รอบต่อนาที เก็บสัญญาณด้วยวิธี Synchronous Time Averaging | 158 |
| รูปที่ 5-31 ความสัมพันธ์ระหว่างค่าแเอนพลิจูดของ SBW 3 ยาร์มอนิกแรกรอบ 1xGMF และความยาวร้อยแทกร้าวของฟันเพื่อง : ความเร็ว 500 รอบต่อนาที วัดสัญญาณแนวระดับ เก็บสัญญาณด้วยวิธี Spectrum Averaging | 159 |
| รูปที่ 5-32 ความสัมพันธ์ระหว่างค่าแเอนพลิจูดของ SBW 3 ยาร์มอนิกแรกรอบ 1xGMF และความยาวร้อยแทกร้าวของฟันเพื่อง : ความเร็ว 500 รอบต่อนาที วัดสัญญาณแนวระดับ เก็บสัญญาณด้วยวิธี Spectrum Averaging | 160 |
| รูปที่ 5-33 ความสัมพันธ์ระหว่างค่าแเอนพลิจูดของ SBW 3 ยาร์มอนิกแรกรอบ 1xGMF และความยาวร้อยแทกร้าวของฟันเพื่อง : ความเร็ว 500 รอบต่อนาที วัดสัญญาณแนวระดับ เก็บสัญญาณด้วยวิธี Zoom Processing รอบ 1xGMF | 161 |
| รูปที่ 5-34 ความสัมพันธ์ระหว่างค่าแเอนพลิจูดของ SBW 3 ยาร์มอนิกแรกรอบ 1xGMF และความยาวร้อยแทกร้าวของฟันเพื่อง : ความเร็ว 500 รอบต่อนาที วัดสัญญาณแนวระดับ เก็บสัญญาณด้วยวิธี Zoom Processing รอบ 1xGMF | 162 |

สารบัญภาพ (ต่อ)

หน้า

| | |
|--|-----|
| รูปที่ 5-35 ความสัมพันธ์ระหว่างค่าเออมพลิจูดของ SBW 3 ยาร์มอนิกแรกรอบ 1xGMF และความยาวร้อยแทกร้าวของฟันเพื่อง : ความเร็ว 500 รอบต่อนาที วัดสัญญาณแนวระดับ เก็บสัญญาณด้วยวิธี Synchronous Time Averaging..... | 163 |
| รูปที่ 5-36 ความสัมพันธ์ระหว่างค่าเออมพลิจูดของ SBW 3 ยาร์มอนิกแรกรอบ 1xGMF และความยาวร้อยแทกร้าวของฟันเพื่อง : ความเร็ว 500 รอบต่อนาที วัดสัญญาณแนวเดิง เก็บสัญญาณด้วยวิธี Synchronous Time Averaging..... | 164 |
| รูปที่ 5-37 ความสัมพันธ์ระหว่างค่าเออมพลิจูดของ SBW 3 ยาร์มอนิกแรกรอบ 1xGMF และความยาวร้อยแทกร้าวของฟันเพื่อง : ความเร็ว 800 รอบต่อนาที วัดสัญญาณแนวระดับ เก็บสัญญาณด้วยวิธี Spectrum Averaging..... | 165 |
| รูปที่ 5-38 ความสัมพันธ์ระหว่างค่าเออมพลิจูดของ SBW 3 ยาร์มอนิกแรกรอบ 1xGMF และความยาวร้อยแทกร้าวของฟันเพื่อง : ความเร็ว 800 รอบต่อนาที วัดสัญญาณแนวเดิง เก็บสัญญาณด้วยวิธี Spectrum Averaging..... | 166 |
| รูปที่ 5-39 ความสัมพันธ์ระหว่างค่าเออมพลิจูดของ SBW 3 ยาร์มอนิกแรกรอบ 1xGMF และความยาวร้อยแทกร้าวของฟันเพื่อง : ความเร็ว 800 รอบต่อนาที วัดสัญญาณแนวระดับ เก็บสัญญาณด้วยวิธี Zoom Processing รอบ 1xGMF.... | 167 |
| รูปที่ 5-40 ความสัมพันธ์ระหว่างค่าเออมพลิจูดของ SBW 3 ยาร์มอนิกแรกรอบ 1xGMF และความยาวร้อยแทกร้าวของฟันเพื่อง : ความเร็ว 800 รอบต่อนาที วัดสัญญาณแนวเดิง เก็บสัญญาณด้วยวิธี Zoom Processing รอบ 1xGMF..... | 168 |
| รูปที่ 5-41 ความสัมพันธ์ระหว่างค่าเออมพลิจูดของ SBW 3 ยาร์มอนิกแรกรอบ 1xGMF และความยาวร้อยแทกร้าวของฟันเพื่อง : ความเร็ว 800 รอบต่อนาที วัดสัญญาณแนวระดับ เก็บสัญญาณด้วยวิธี Synchronous Time Averaging.... | 169 |
| รูปที่ 5-42 ความสัมพันธ์ระหว่างค่าเออมพลิจูดของ SBW 3 ยาร์มอนิกแรกรอบ 1xGMF และความยาวร้อยแทกร้าวของฟันเพื่อง : ความเร็ว 800 รอบต่อนาที วัดสัญญาณแนวเดิง เก็บสัญญาณด้วยวิธี Synchronous Time Averaging..... | 170 |
| รูปที่ 5-43 ความสัมพันธ์ระหว่างสัญญาณเชปส์ตัวรับ และความยาวร้อยแทกร้าวของฟันเพื่อง : ความเร็ว 500 รอบต่อนาที เก็บสัญญาณด้วยวิธี Spectrum Averaging..... | 179 |

สารบัญภาพ (ต่อ)

หน้า

| | |
|--|-----|
| รูปที่ 5-44 ความสัมพันธ์ระหว่างสัญญาณเชปส์ตรัม และความยาวรอยแตกร้าวของฟันเฟือง | |
| : ความเร็ว 500 รอบต่อนาที เก็บสัญญาณด้วยวิธี Zoom Processing | |
| รอบ 1xGMF | 180 |
| รูปที่ 5-45 ความสัมพันธ์ระหว่างสัญญาณเชปส์ตรัม และความยาวรอยแตกร้าวของฟันเฟือง | |
| : ความเร็ว 500 รอบต่อนาที เก็บสัญญาณด้วยวิธี | |
| Synchronous Time Averaging..... | 181 |
| รูปที่ 5-46 ความสัมพันธ์ระหว่างสัญญาณเชปส์ตรัม และความยาวรอยแตกร้าวของฟันเฟือง | |
| : ความเร็ว 800 รอบต่อนาที เก็บสัญญาณด้วยวิธี Spectrum Averaging..... | 182 |
| รูปที่ 5-47 ความสัมพันธ์ระหว่างสัญญาณเชปส์ตรัม และความยาวรอยแตกร้าวของฟันเฟือง | |
| : ความเร็ว 800 รอบต่อนาที เก็บสัญญาณด้วยวิธี Zoom Processing | |
| รอบ 1xGMF | 183 |
| รูปที่ 5-48 ความสัมพันธ์ระหว่างสัญญาณเชปส์ตรัม และความยาวรอยแตกร้าวของฟันเฟือง | |
| : ความเร็ว 800 รอบต่อนาที เก็บสัญญาณด้วยวิธี | |
| Synchronous Time Averaging..... | 184 |
| รูปที่ ก-1 ชุดอุปกรณ์ทดลองการสั่นสะเทือนของชุดเฟือง | 198 |
| รูปที่ ก-2 เครื่องวิเคราะห์สัญญาณ รุ่น 2035 และเครื่องขยายประจุ รุ่น 2635 ยี่ห้อ Brüel & Kjær | 198 |
| รูปที่ ก-3 การติดตั้งตัวตรวจวัดแบบความเร่งและแทกคอมิเตอร์ | 199 |
| รูปที่ ข-1 หัวกดสำหรับสร้างรอยแตกร้าว | 200 |
| รูปที่ ค-1 การสึกหรอภายหลังการทดลองของเฟือง 01-0 ซึ่งไม่มีรอยแตกร้าว | 201 |
| รูปที่ ค-2 การสึกหรอภายหลังการทดลองของเฟือง 02-0 ซึ่งไม่มีรอยแตกร้าว | 201 |
| รูปที่ ค-3 การสึกหรอภายหลังการทดลองของเฟือง 01-1 ซึ่งมีรอยแตกร้าวยาว 1.5 มม..... | 202 |
| รูปที่ ค-4 การสึกหรอภายหลังการทดลองของเฟือง 01-2 ซึ่งมีรอยแตกร้าวยาว 2.5 มม..... | 202 |
| รูปที่ ค-5 การสึกหรอภายหลังการทดลองของเฟือง 01-3 ซึ่งมีรอยแตกร้าวยาว 3.5 มม..... | 203 |
| รูปที่ ค-6 การสึกหรอภายหลังการทดลองของเฟือง 01-4 ซึ่งมีรอยแตกร้าวยาว 4.5 มม..... | 203 |
| รูปที่ ง-1 สัญญาณสเปกตรัมความถี่ธรรมชาติของชุดทดลองที่รัดในแนวระดับ | 204 |
| รูปที่ ง-2 สัญญาณสเปกตรัมความถี่ธรรมชาติของชุดทดลองที่รัดในแนวตั้ง | 205 |

คำอธิบายสัญลักษณ์

| | |
|----------------------|---|
| N | คือ ขนาดของการแปลงสัญญาณ หรือ จำนวนจุดข้อมูล |
| N_{span} | คือ จำนวนของเส้นスペกตรัม |
| T | คือ ช่วงเวลาที่ใช้ในการเก็บสัญญาณในหนึ่งหน้าต่างเวลา |
| f_{span} | คือ ช่วงความถี่ที่ใช้เคราะห์สัญญาณスペกตรัม |
| f_s | คือ ความถี่ในการสูมตัวอย่างข้อมูล |
| f_n | คือ ความถี่ในควิสต์ ซึ่งเป็นครึ่งหนึ่งของความถี่ในการสูมตัวอย่างข้อมูล |
| Δt | ค่าของ การสูมตัวอย่างข้อมูล หรือ ความละเอียดของสัญญาณเวลา |
| Δf | ระยะห่างระหว่างเส้นスペกตรัมแต่ละเส้น |
| f_0 | ความถี่รากฐานของการเก็บสัญญาณ ซึ่งเท่ากับ $1/T$ |
| $w(t)$ | ฟังก์ชันถ่วงน้ำหนัก |
| G_{xx} | เพาเวอร์スペกตรัม (Power Spectrum) หรือ ออโตสเปกตรัม (Autospectrum) |
| r | ตัวประกอบการเลื่อน (Shift Factor) |
| OL | ขนาดการเหลือมกันของหน้าต่างเวลา |
| N_0 | จำนวนจุดข้อมูลที่ใช้ในการวิเคราะห์สำหรับกรณีปกติ (Base Band Analysis) ซึ่ง มักมีจำนวนจุดข้อมูล 1024 หรือ 2048 จุด ขึ้นอยู่กับจำนวนเส้นスペกตรัมที่เลือกใช้ |
| N_r | จำนวนจุดข้อมูลทั้งหมดที่ใช้เก็บสัญญาณด้วยระบบการขยายความละเอียดของ โดยเมนความถี่ |
| Δf_n | ระยะห่างระหว่างเส้นスペกตรัมหลังทำการขยายความละเอียดของโดยเมนความถี่แล้ว |
| f_p | ความถี่ที่อยู่กึ่งกลางช่วงความถี่ที่ต้องการขยายความละเอียดของโดยเมนความถี่ |
| N_A | จำนวนจุดสัญญาณที่นำมาเฉลี่ยกันบนโดยเมนเวลาเข้าจังหวะ |
| $C(\tau)$ | เชปส์ตัวรัม |
| $C_p(\tau)$ | เพาเวอร์เชปส์ตัวรัม |
| $s(t)$ | ความคลาดเคลื่อนการส่งผ่านการเคลื่อนที่สติติ |
| $s_{\text{eh}}(t)$ | ความคลาดเคลื่อนแบบยาร์มอนิก |
| $s_{\text{er,p}}(t)$ | ความคลาดเคลื่อนส่วนที่เหลือ เนื่องมาจากเพ่องขับ |
| $s_{\text{er,g}}(t)$ | ความคลาดเคลื่อนส่วนที่เหลือ เนื่องมาจากเพ่องตาม |
| X_m | แอมพลิจูดของการสั่นสะเทือนที่ยาร์มอนิกที่ m |
| ϕ_m | มุมเฟสยาร์มอนิกที่ m |

| | |
|---------------------------|---|
| $a_m(t)$ | คือ พังก์ชันมอดูเลตทางแอมปลิจูด |
| $b_m(t)$ | คือ พังก์ชันมอดูเลตทางความถี่ |
| α_{mn}, β_{mn} | คือ มุมเฟสอาร์มอนิกที่ n ของพังก์ชันมอดูเลต |
| GMF | คือ ความถี่การขับกันของคู่เพื่อง (Gear Meshing Frequency) |
| SBP | คือ ชุดแบบความถี่ข้างจากความถี่เพื่องขับ |
| SBW | คือ ชุดแบบความถี่ข้างจากความถี่เพื่องตาม |
| σ_e | คือ ขีดจำกัดความทนทาน หรือขีดจำกัดความล้า |
| σ_u | คือ ความต้านแรงดึงตึงตรวจสอบ |
| σ_m | คือ ความเคี้นเฉลี่ย |
| σ_a | คือ ความเคี้นส่วนเปลี่ยน |
| σ_{max} | คือ ความเคี้นสูงสุด |
| σ_{min} | คือ ความเคี้นต่ำสุด |
| k_b | คือ ตัวประกอบของขนาด |
| k_c | คือ ตัวประกอบของแรง |
| m | คือ โมดูลของชุดเพื่อง |
| b | คือ ความหนาของพันเพื่อง |
| γ | คือ ตัวประกอบรูปแบบของลูอิส |

ศูนย์วิทยทรัพยากร จุฬาลงกรณ์มหาวิทยาลัย